

Electrónica de Potência

Sérgio Santos, N.º: 1020881

2 de Julho de 2020

Conteúdo

I	Problema 1 - A 1	2
.1	Análise circuito LC , $D-LC$ e RLC em $C.C.$	3
II	Problema 1 - A 2	1
.1	Simulação no PSIM	2
III	Equações	1

Parte I

Problema 1 - A 1

.1 Análise circuito LC, D – LC e RLC em C.C.

Análise de transitórios num circuito RLC série, alimentado por uma fonte DC.

Considere o circuito :

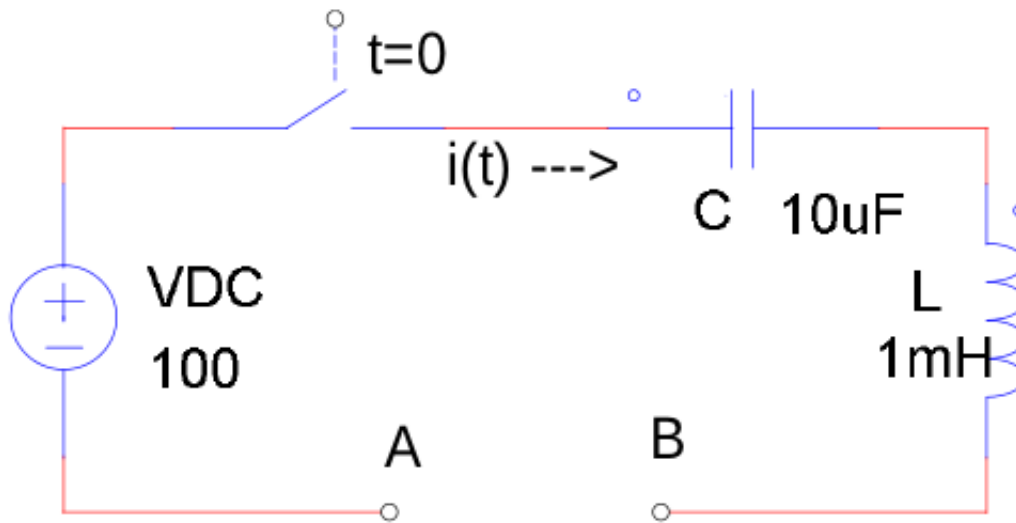


Figura 1: Circuito LC C.C

1. O interruptor é fechado em $t = 0s$ e nesse instante $V_c = 0$ (condensador descarregado).
 - (a) Com os pontos A e B em curto-circuito . Deduza as formas de onda da corrente $i(t)$; da tensão no condensador $V_c(t)$; da tensão na bobine $V_L(t)$. Representando as formas de onda obtidas ;
Fonte de alimentação

$$V_{DC}(t) = 100 \times u(t) \quad (1)$$

Condições iniciais

$$V_c(0^-) = 0$$

Equação do circuito

$$V_{DC}(t) = \frac{Q_c(t)}{C} + L \cdot \frac{di(t)}{dt} ; t > 0^- \quad (2)$$

$$\begin{aligned} Q_c(t) &= \int^t i(t) dt \\ &= Q_c(0^-) + \int_{0^-}^t i(t) dt \end{aligned} \quad (3)$$

$$\begin{aligned} V_{DC}(t) &= \frac{1}{C} \times \left[Q_c(0^-) + \int_{0^-}^t i(t) dt \right] + L \times \frac{di(t)}{dt} \\ &= \frac{Q_c(0^-)}{C} + \frac{\int_{0^-}^t i(t) dt}{C} + L \times \frac{di(t)}{dt} \\ &= V_c(0^-) + \frac{\int_{0^-}^t i(t) dt}{C} + L \times \frac{di(t)}{dt} \end{aligned} \quad (4)$$

Aplicando agora a transformada (\mathcal{L}) de Laplace a equação com $V_c(0^-) = 0$ e $i_L(0^-) = 0$

$$V_{DC}(s) = \frac{I(s)}{sC} + L \times [sI(s) - i_L(0^-)] \quad (5)$$

$$= \frac{I(s)}{sC} + LsI(s)$$

$$\frac{100}{s} = \left[\frac{1}{sC} + Ls \right] \times I(s) \quad (6)$$

$$= \left[\frac{LCs^2 + 1}{sC} \right] \times I(s)$$

$$= \left[\frac{s^2 + \frac{1}{LC}}{\frac{s}{L}} \right] \times I(s)$$

$$= \left[\frac{L(s^2 + \frac{1}{LC})}{s} \right] \times I(s)$$

$$100 = \left[L(s^2 + \frac{1}{LC}) \right] \times I(s) \quad (7)$$

$$I(s) = \frac{\frac{100}{L}}{s^2 + \frac{1}{LC}} \quad (8)$$

$$= K_1 \times \frac{\frac{1}{\sqrt{LC}}}{s^2 + \left(\frac{1}{\sqrt{LC}} \right)^2} \Bigg|_{K_1 = \frac{100\sqrt{LC}}{L}} \quad Roc > 0$$

Da como resultado sua corrente ,

$$i(t) = 10 \sin \frac{t}{\sqrt{LC}} u(t) \quad (9)$$

A tensão na bobine $V_L(t) = L \frac{di(t)}{dt}$, isto é,

$$V_L(t) = 100 \cos \frac{t}{\sqrt{LC}} u(t) \quad (10)$$

A tensão no condensador $V_c(t) = \frac{1}{C} \int_0^t i(t)$, isto é,

$$V_c(t) = 100 \left(1 - \cos \frac{t}{\sqrt{LC}} \right) u(t) \quad (11)$$

Representação gráfica :

```
wxplot2d([i(t),Vc(t),VL(t)],[t,0,0.001]);
positive, negative, or zero?positive;
```

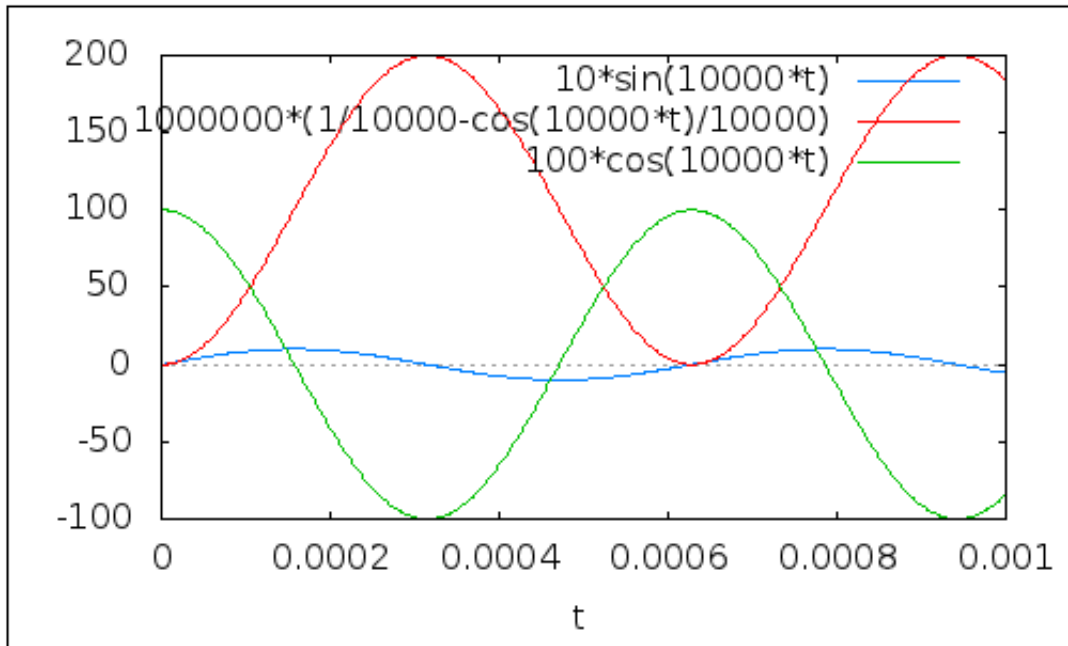


Figura 2: $V_c(t)$ e $V_L(t)$ e $i(t)$

- (b) Supondo agora que entre A e B é colocado um diodo com o Cátodo ligado a A .

Como o diodo só conduz numa direcção, não existe força contra eletromotriz da bobine, ou seja, a corrente só flui numa direcção, isto é, só existe meio ciclo da onda sinusoidal já obtida no exercício anterior.

$$i(t) = \begin{cases} 10 \sin \frac{1}{\sqrt{LC}}t, & \text{if } 0 \leq t < \frac{T_0}{2}; \\ 0, & \text{if } t \geq \frac{T_0}{2}; \end{cases}$$

A partir de $t \geq \frac{T_0}{2}$ condições iniciais $V_c(\frac{T_0}{2}^-) = 200$ e $V_L(\frac{T_0}{2}^-) = -100$

$$\begin{aligned} V_c(t) &= V_c\left(\frac{T_0}{2}^-\right) + \frac{\int_{\frac{T_0}{2}}^t i(t)}{C} \\ &= V_c\left(\frac{T_0}{2}^-\right) + 0 \end{aligned} \tag{12}$$

$$= 200 \times u\left(t - \frac{T_0}{2}\right)$$

$$\begin{aligned} V_L(t) &= L \frac{di(t)}{dt} \\ &= 0 \times u\left(t - \frac{T_0}{2}\right) \end{aligned} \tag{13}$$

Representação gráfica:

```
wxplot2d([I1,V1L,V1C],[t,0,0.001],[y,-105,205]);
```

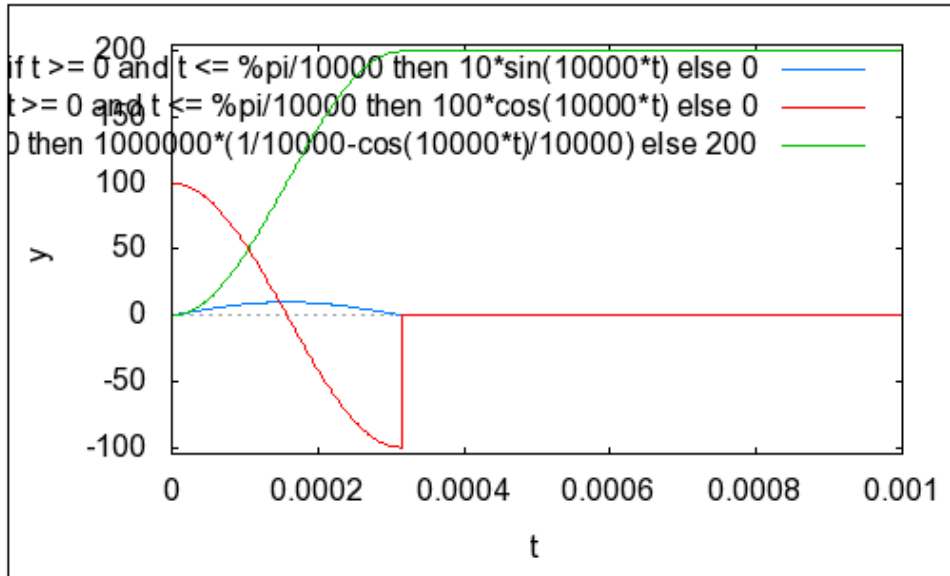


Figura 3: Circuito LC com díodo em C.C

Na qual ao chegar e após a $t = \frac{\pi}{10000}$ a tensão do **condensador** continua nos 200V e a tensão na **bobine** e a **corrente** são nulos .

- (c) Supondo que o díodo é substituído por uma resistência R , determine o valor da resistência de modo a que o circuito tenha um comportamento não oscilatório .

Equação do circuito

$$V_{DC}(t) = \frac{Q_c(t)}{C} + L \frac{di(t)}{dt} + R i(t) ; t > 0^- \quad (14)$$

Aplicando a Transformada de Laplace , supondo que as condições iniciais são nulas

$$\frac{V_{DC}(s)}{I(s)} = Ls + \frac{1}{sC} + R ; R > 0^- \quad (15)$$

$$\frac{V_{DC}(s)Cs}{I(s)} = LCs^2 + RCs + 1 \quad (16)$$

$$\frac{V_{DC}(s)s}{I(s)L} = s^2 + \frac{R}{L}s + \frac{1}{LC} \quad (17)$$

$$I(s) = \frac{100/L}{s^2 + \frac{R}{L}s + \frac{1}{LC}} \quad (18)$$

Desta Equação sabemos que:

$$2\xi\omega_n = \frac{R}{L} ; \quad \omega_n^2 = \frac{1}{LC} ; \quad \omega_d = \omega_n \sqrt{1 - \xi^2}$$

e que:

$$\text{Subamortecido} \implies 0 \leq \xi < 1$$

$$\text{Amortecido critico} \implies \xi = 1$$

$$\text{Sobreamortecido} \implies \xi > 1$$

\therefore

$$\text{para } \xi = 1$$

$$2\omega_n = \frac{R}{L} \text{ ou } \left(\frac{R}{L}\right)^2 - 4 \times \frac{1}{LC} = 0 \quad (19)$$

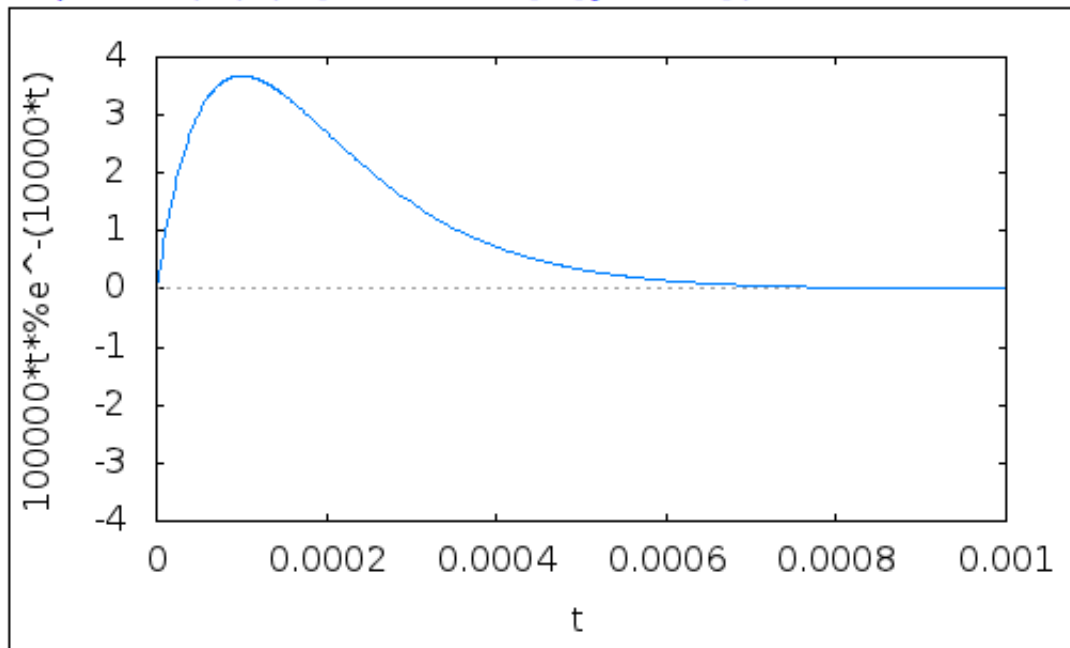
logo o valor resistivo é 20 Ω (ohm)

$$I(s) = \frac{\frac{100}{L}}{(s + \frac{R}{2L})^2}, \text{Roc} > \frac{-R}{2L} \quad (20)$$

$$\begin{aligned} i(t) &= \frac{100}{L} e^{-\frac{R}{2L}t} t \times u(t) \\ &= 100000 t e^{-10000t} \times u(t) \end{aligned} \quad (21)$$

Representação gráfica :

```
wxplot2d(i(t),[t,0,0.001],[y,-4,4]);
```



```
R:20;  
L:1*10^-3;  
C:10*10^-6;
```

Figura 4: Circuito RLC Amortecido crítico C.C

Resumo

Foram Efetuado todas as deduções matemáticas necessárias de modo a explicar convenientemente a evolução da corrente $i(t)$ e tensões $V_c(t)$ e $V_L(t)$, e obtido as formas de onda com base nas expressões matemáticas , como demonstrado na Parte III.

Parte II

Problema 1 - A 2

.1 Simulação no PSIM.

1. Simulação no **PSIM** os circuitos/problema apresentado na Parte I. Registrando a formas de onda e comparando os resultados .

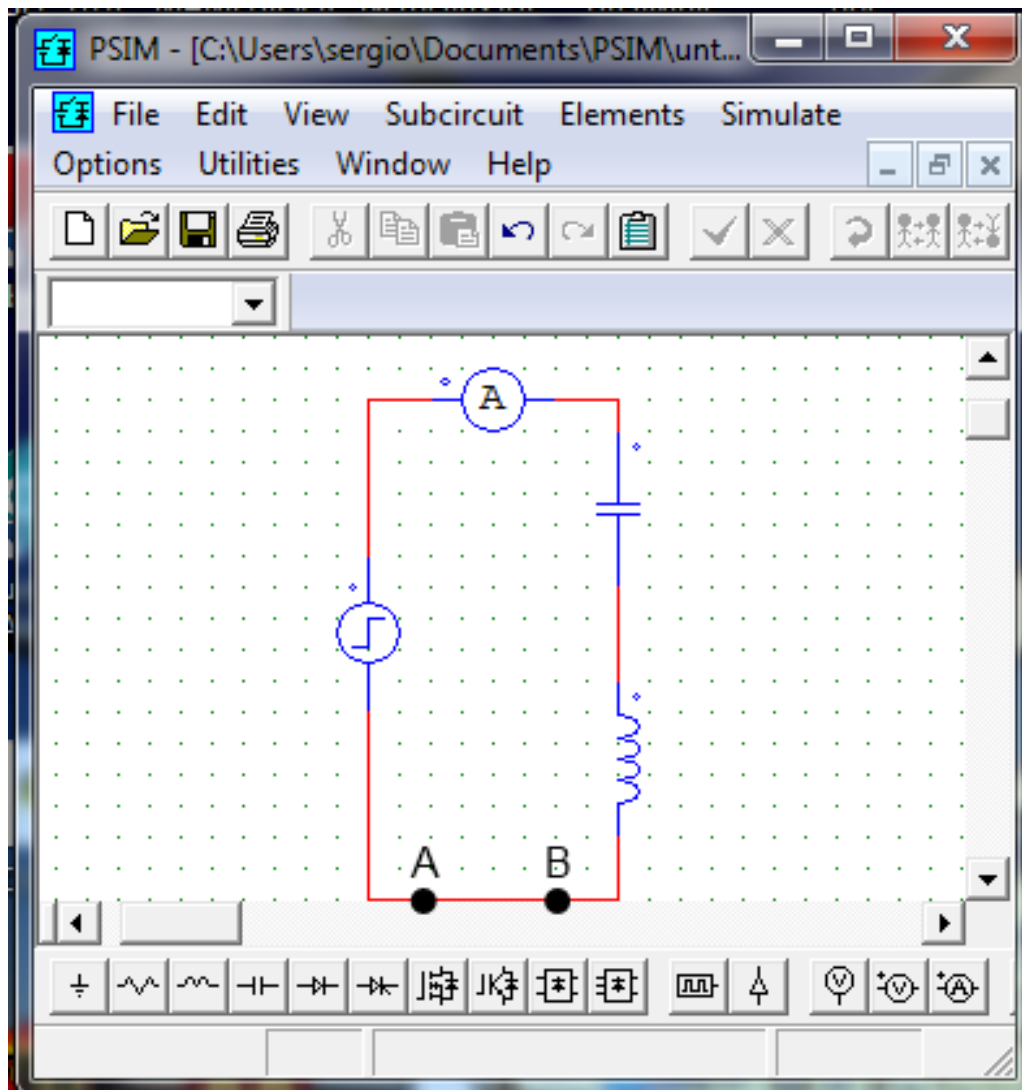


Figura 5: Programa *PSIM*

- (a) Ensaio com curto-circuito entre *A* e *B*

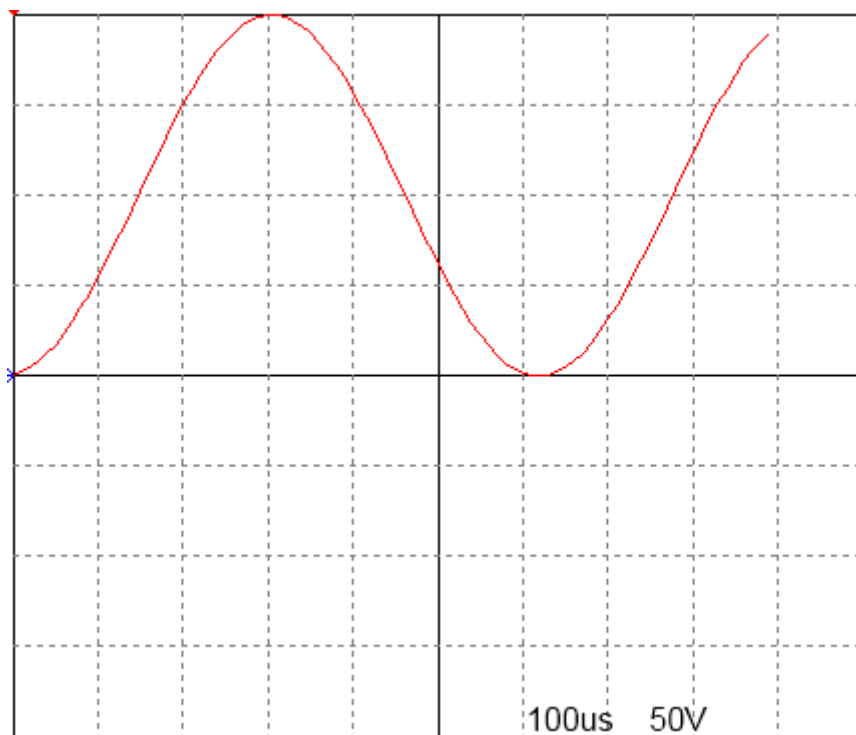


Figura 6: $V_c(t)$

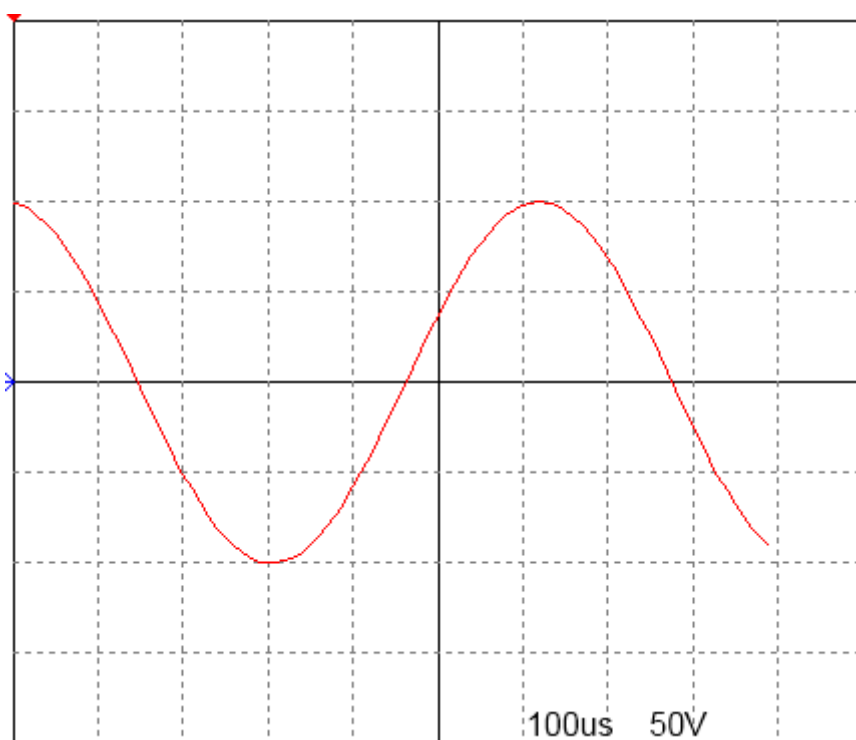


Figura 7: $V_L(t)$

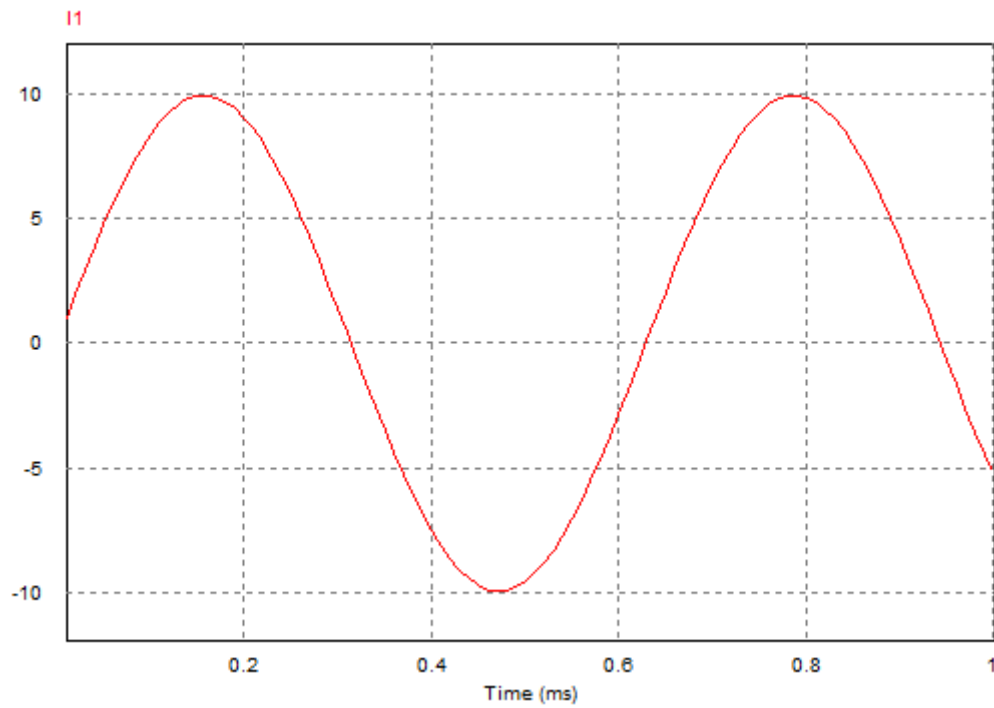


Figura 8: $i(t)$

(b) Ensaio com díodo entre A e B

Aqui existe uma diferença com o modelo matemático , pois $V_L(t)$ tem um declive para zero depois de $t \geq \frac{T_0}{2}$.

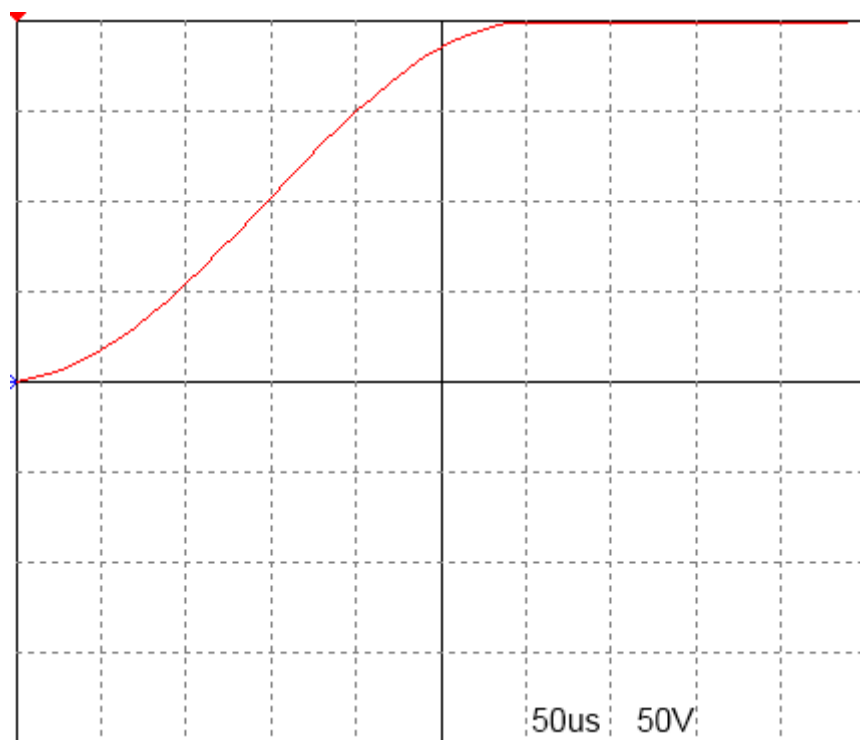


Figura 9: $V_c(t)$

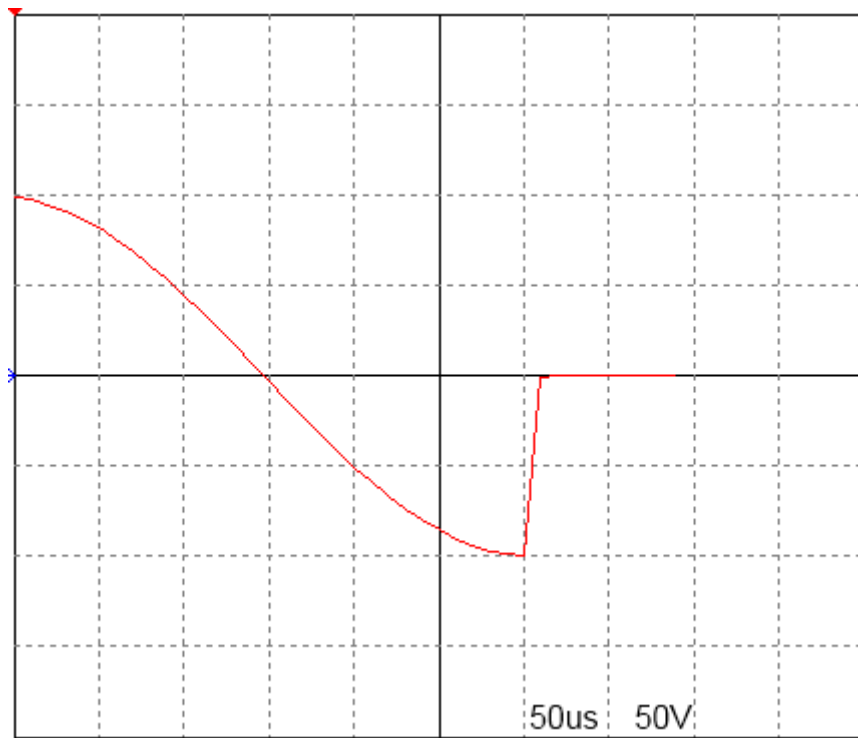


Figura 10: $V_L(t)$

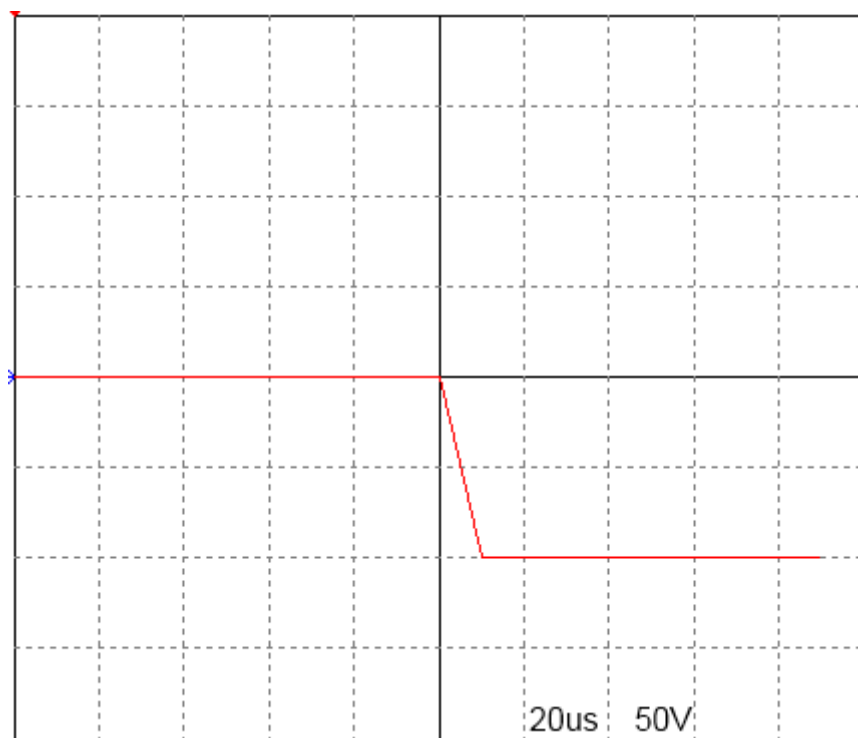


Figura 11: $V_D(t)$

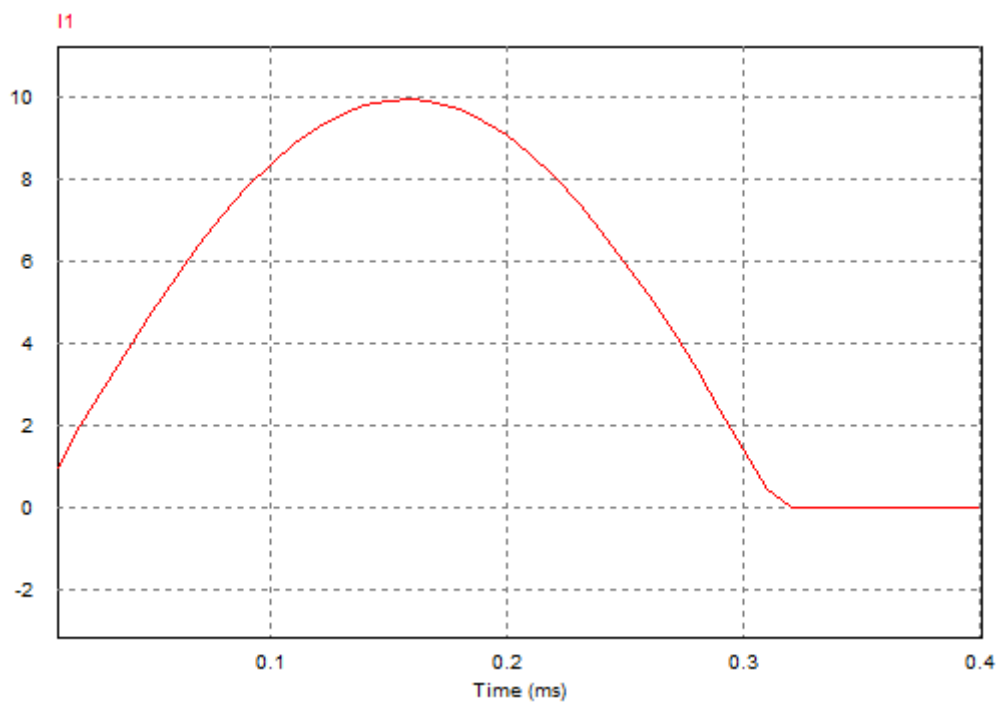


Figura 12: $i(t)$

(c) Ensaio com Resistência de $20\ \Omega$ (ohm) entre A e B

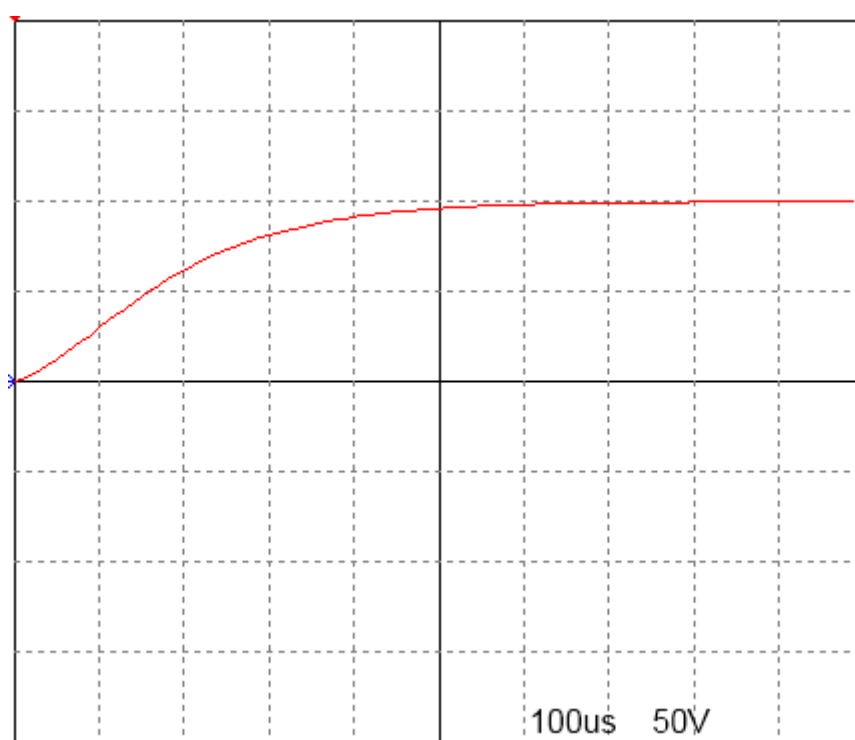


Figura 13: $V_c(t)$

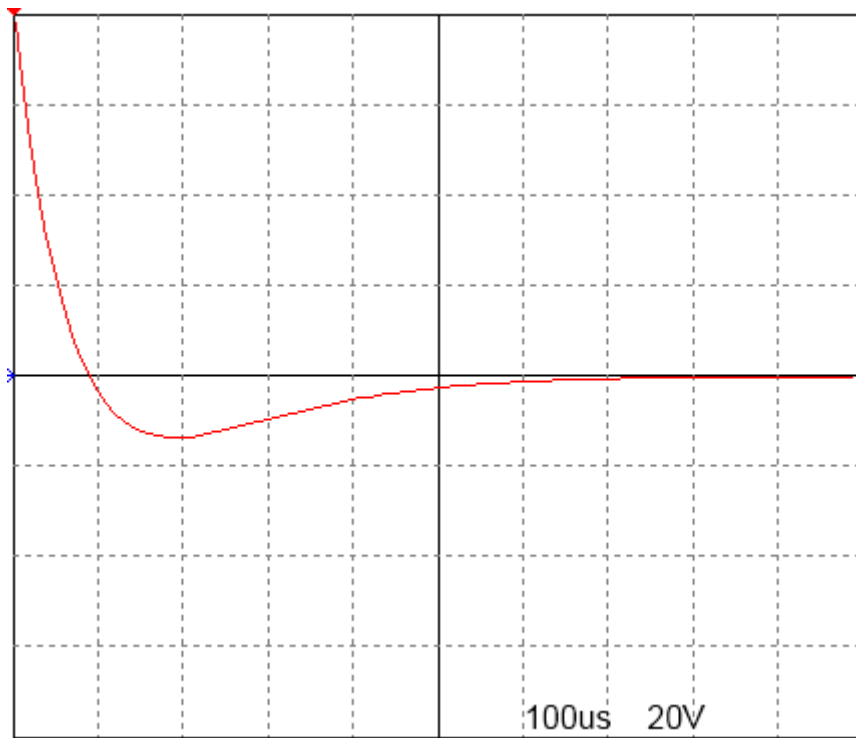


Figura 14: $V_L(t)$

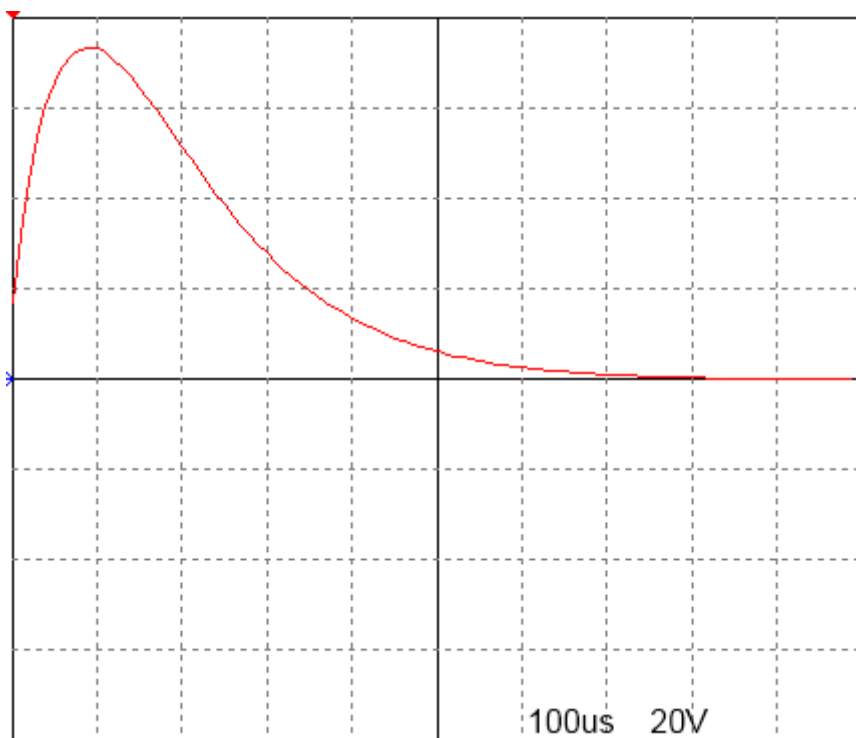


Figura 15: $V_R(t)$

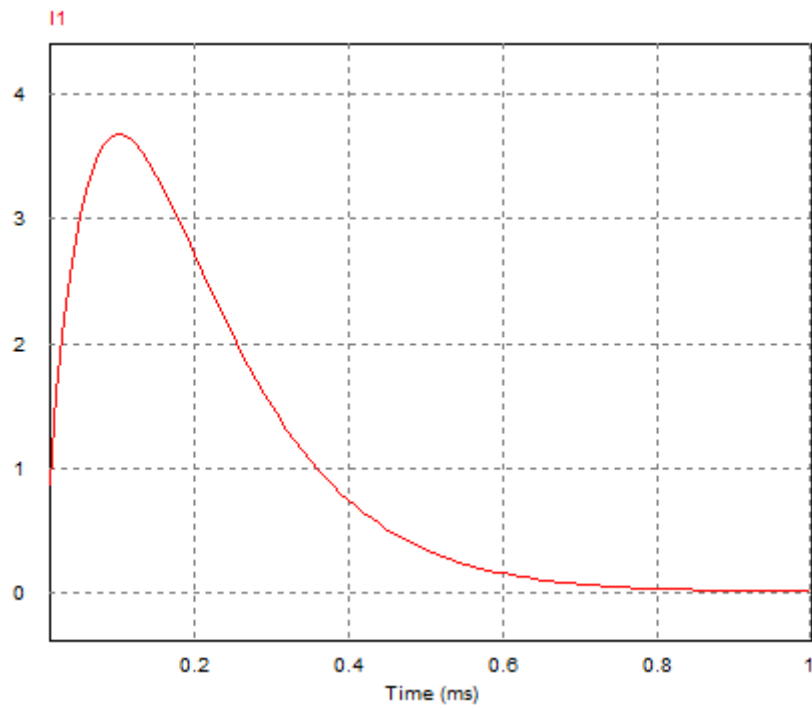


Figura 16: $i(t)$

2. Considerado o circuito . O interruptor é fechado em $t = 0s$.

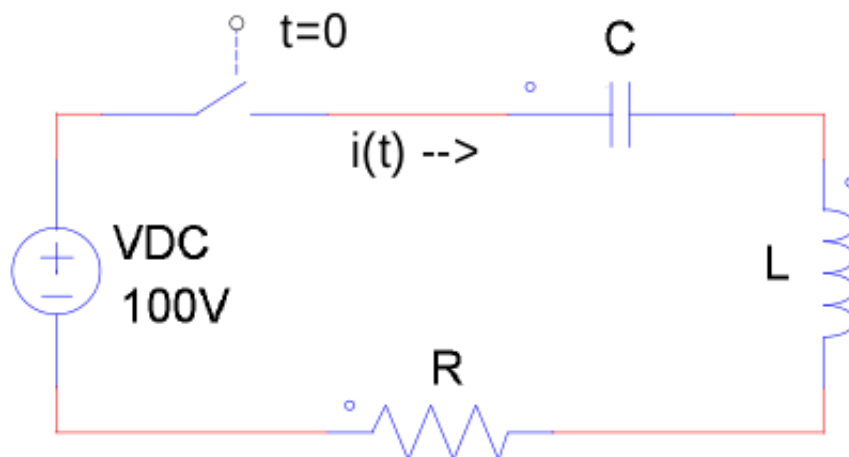


Figura 17: Circuito RLC em C.C

Socorrendo ao Excel (ou equivalente OpenOffice), são representadas as formas de onda da corrente $i(t)$ para os seguintes valores de R , L e C :

(a) $R=2\Omega$ $L=1H$ $C=0,01F$

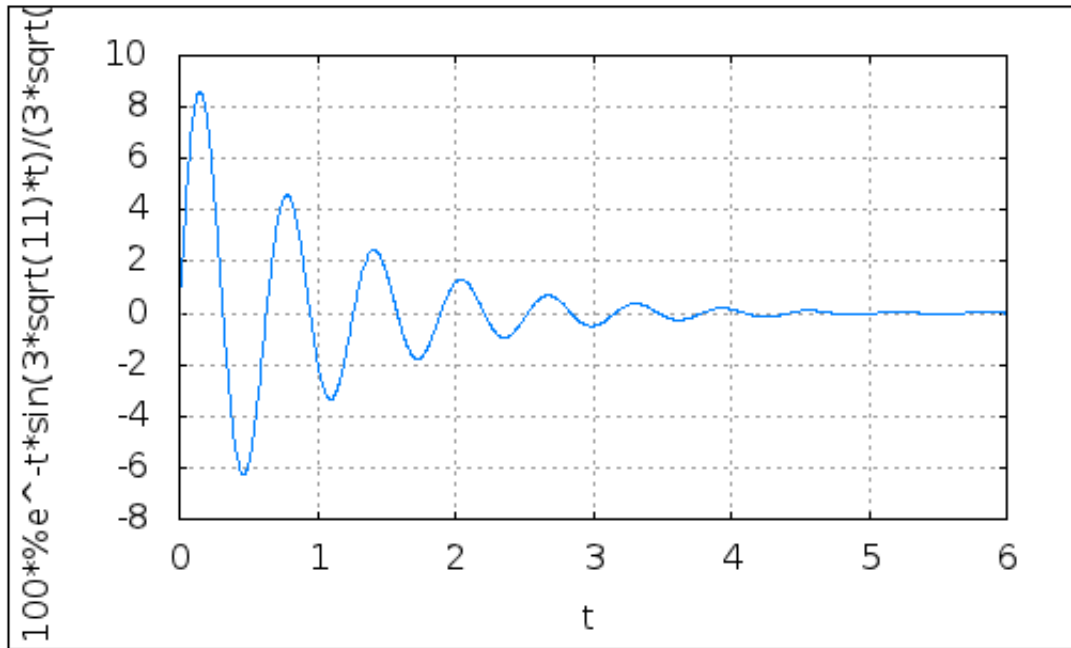


Figura 18: $\xi = 0.1$

(b) $R=2\Omega$ $L=1H$ $C=0,1F$

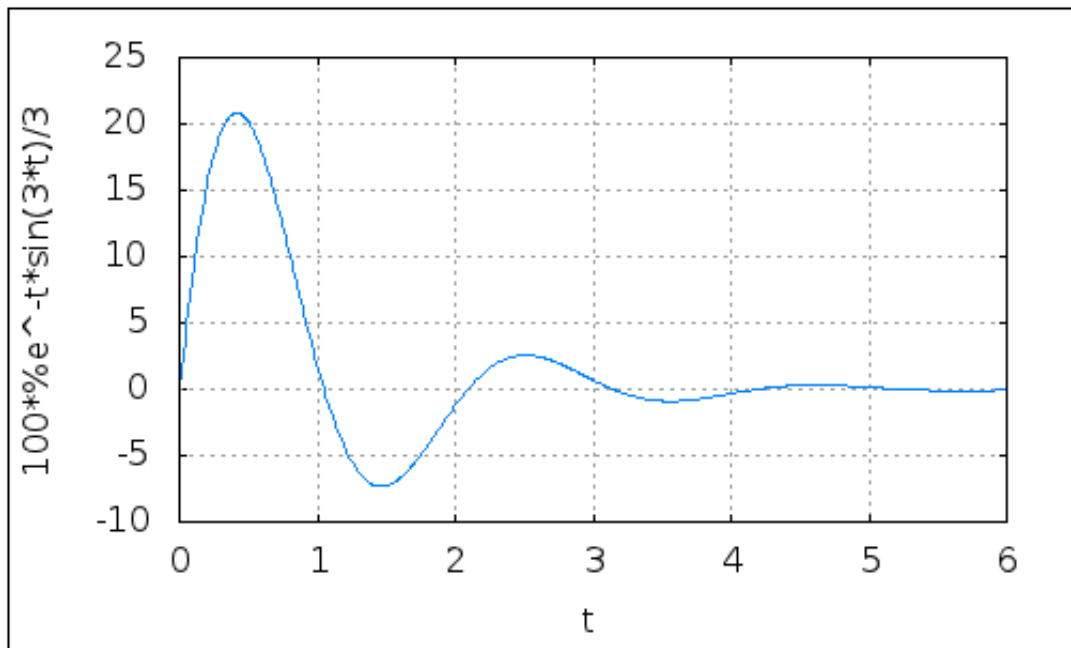


Figura 19: $\xi = 0.31622776601684$

(c) $R=2\Omega$ $L=1H$ $C=0,5F$

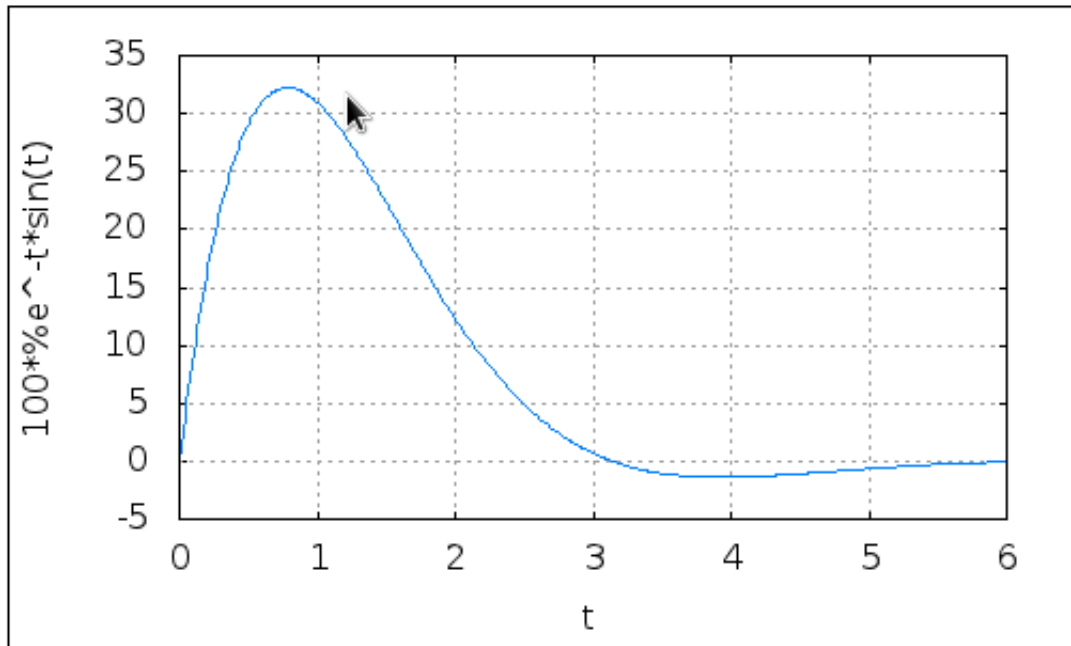


Figura 20: $\xi = 0.707106781188655$

(d) $R=2\Omega$ $L=1H$ $C=1F$

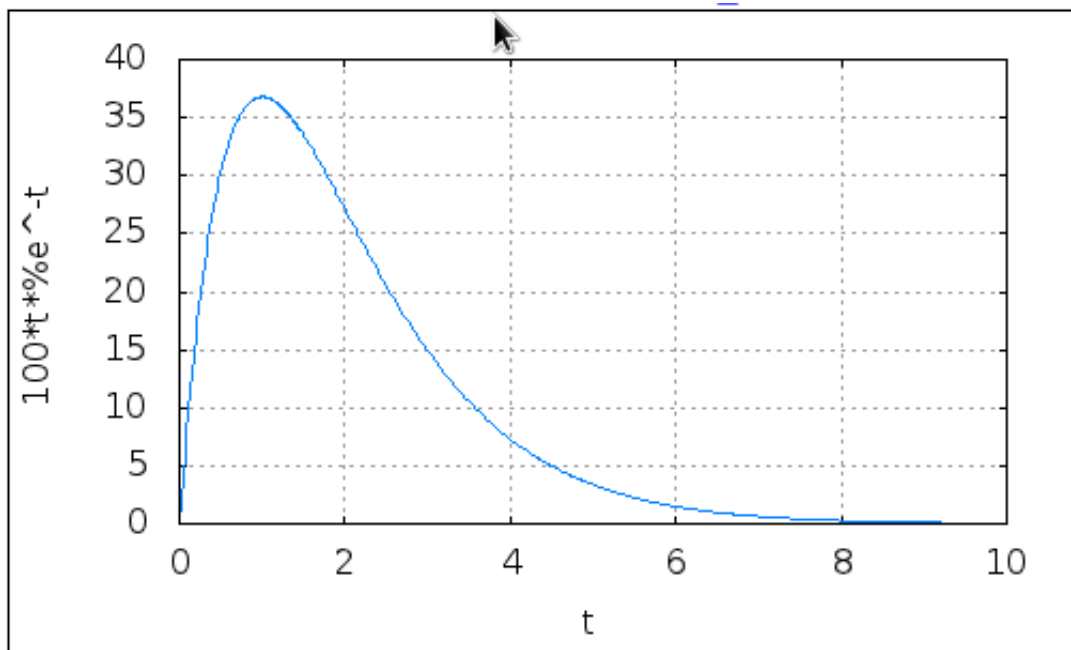


Figura 21: $\xi = 1$

(e) $R=2\Omega$ $L=1H$ $C=3F$

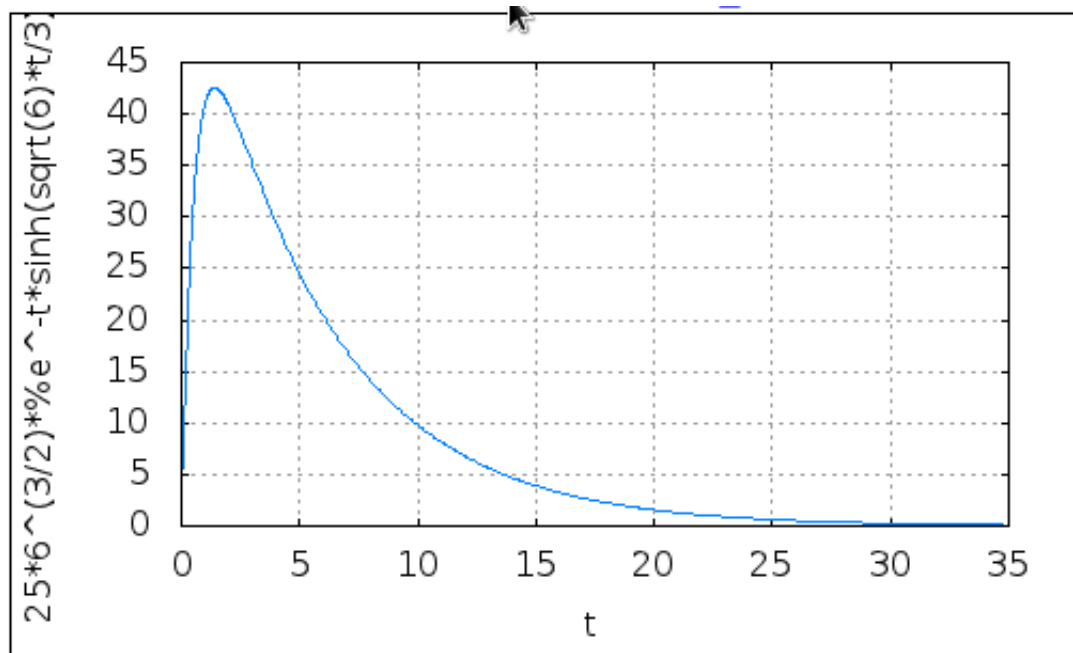


Figura 22: $\xi = \sqrt{3}$

(f) $R=0\Omega$ $L=1H$ $C=0,5F$

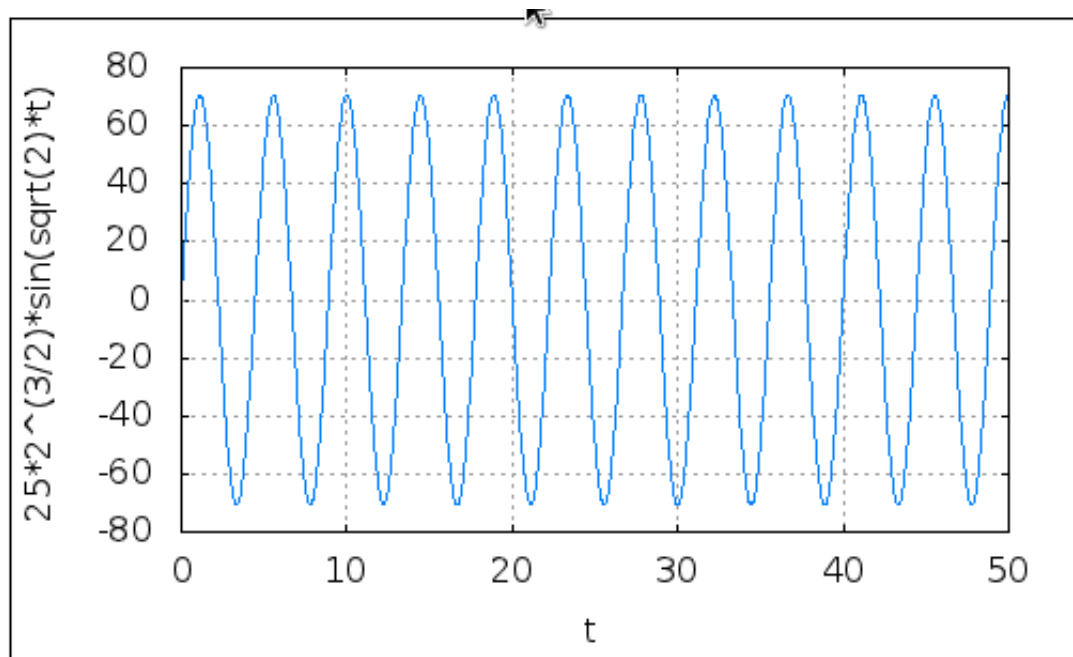


Figura 23: $\xi = 0$

Formas de onda obtidas classificadas no que diz respeito ao seu amortecimento

$$\xi = \frac{R\sqrt{LC}}{2L} \quad (22)$$

3. Simulação no **PSIM** o problema apresentado no ponto anterior. Registrando a formas de onda e comparando os resultados .

(a) $R=2\Omega$ $L=1H$ $C=0,01F$

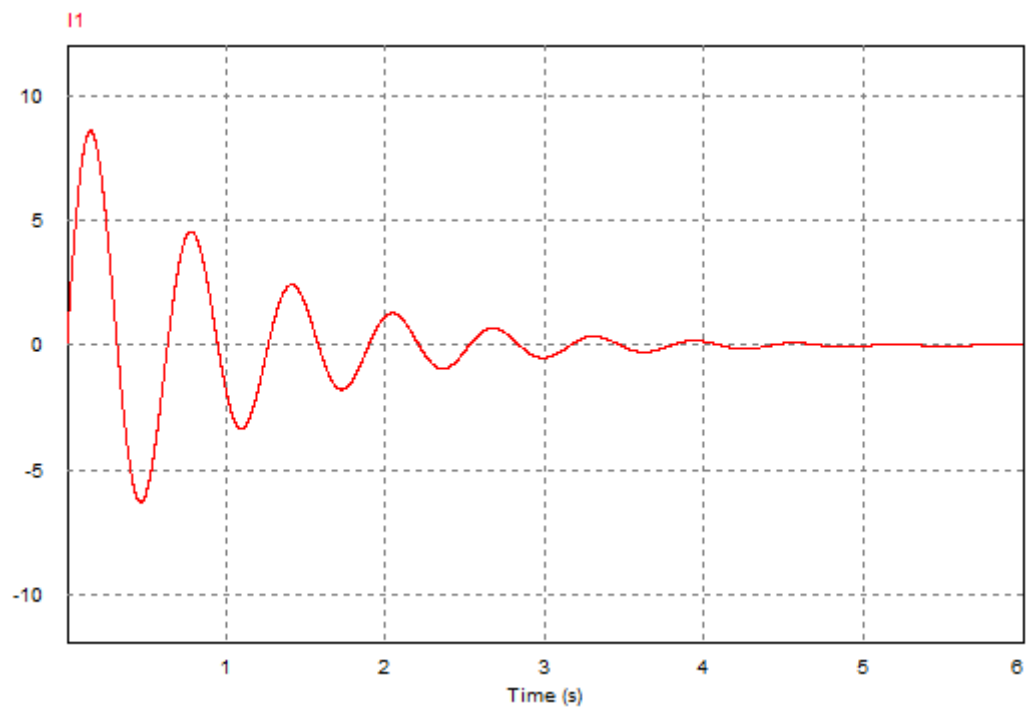


Figura 24: $\xi = 0.1$

(b) $R=2\Omega$ $L=1H$ $C=0.1F$

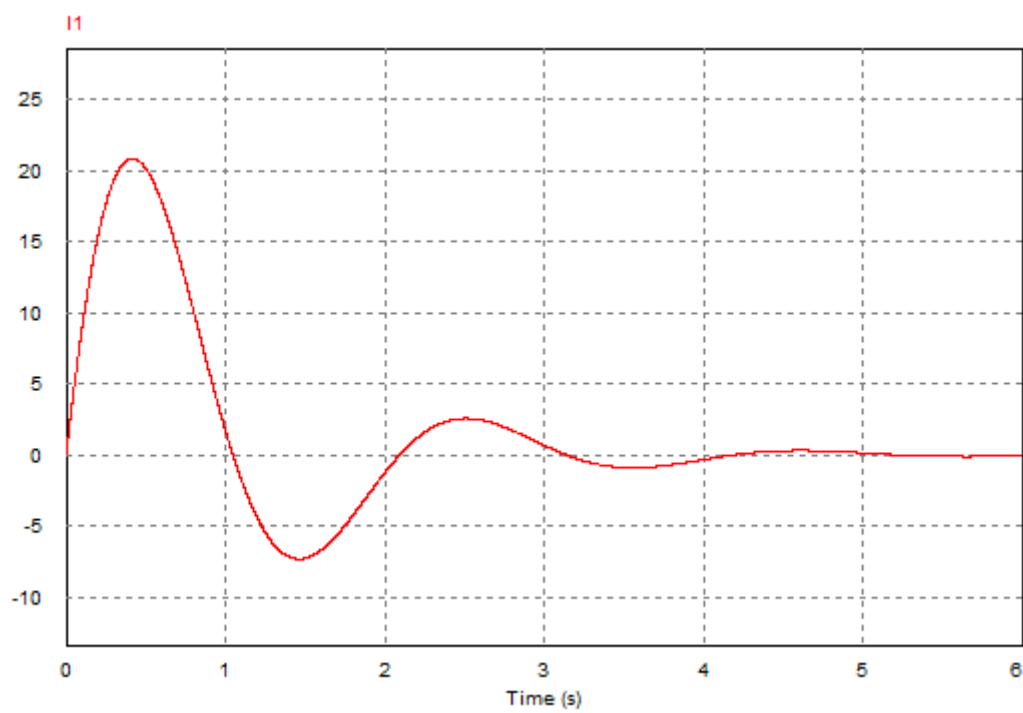


Figura 25: $\xi = 0.31622776601684$

(c) $R=2\Omega$ $L=1H$ $C=0.5F$

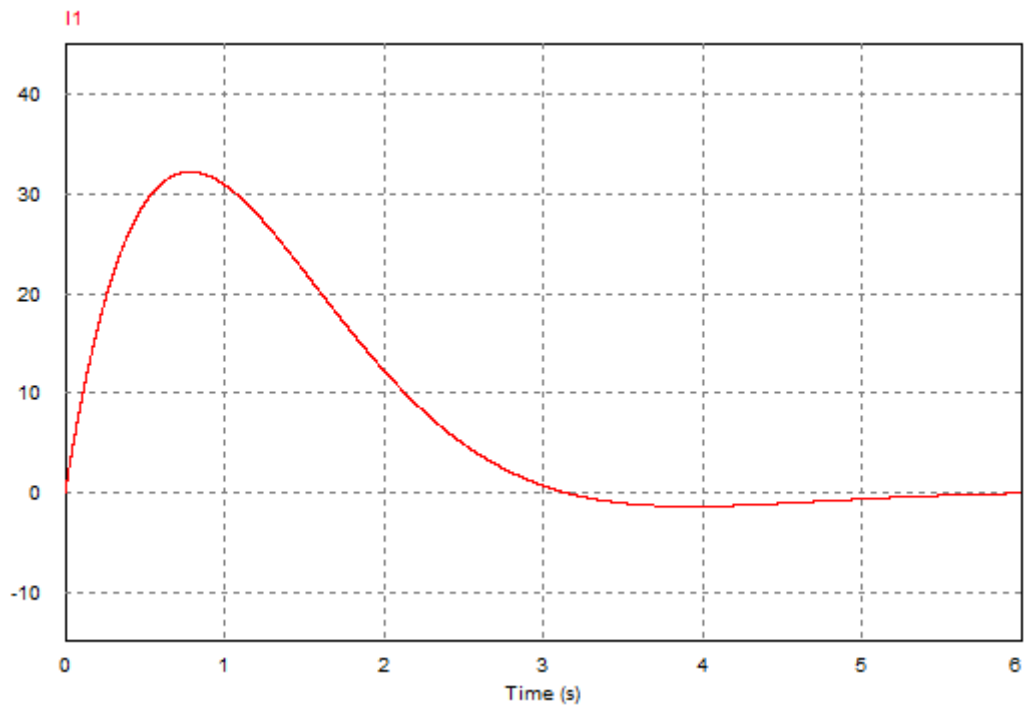


Figura 26: $\xi = 0.707106781188655$

(d) $R=2\Omega$ $L=1H$ $C=1F$

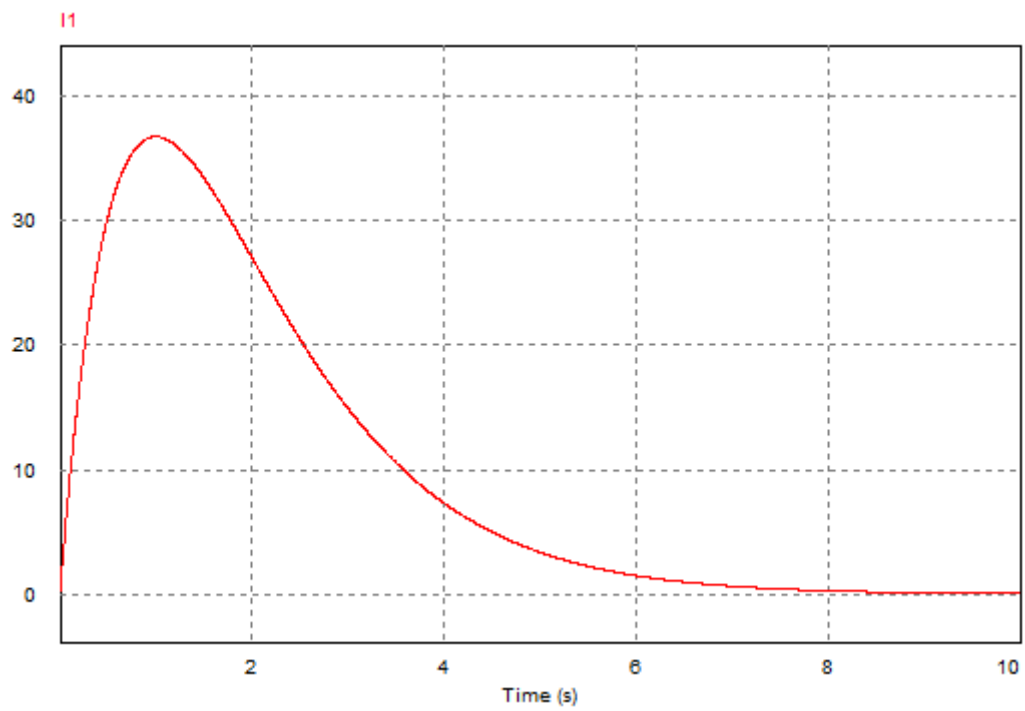


Figura 27: $\xi = 1$

(e) $R=2\Omega$ $L=1H$ $C=3F$

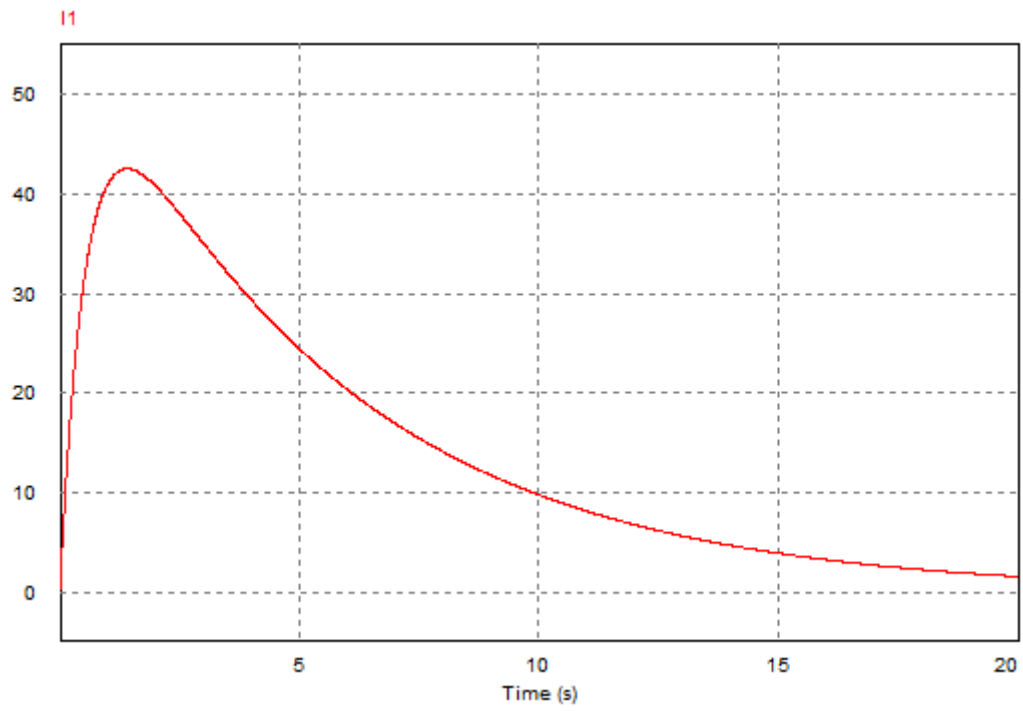


Figura 28: $\xi = \sqrt{3}$

(f) $R=0\Omega$ $L=1H$ $C=0,5F$

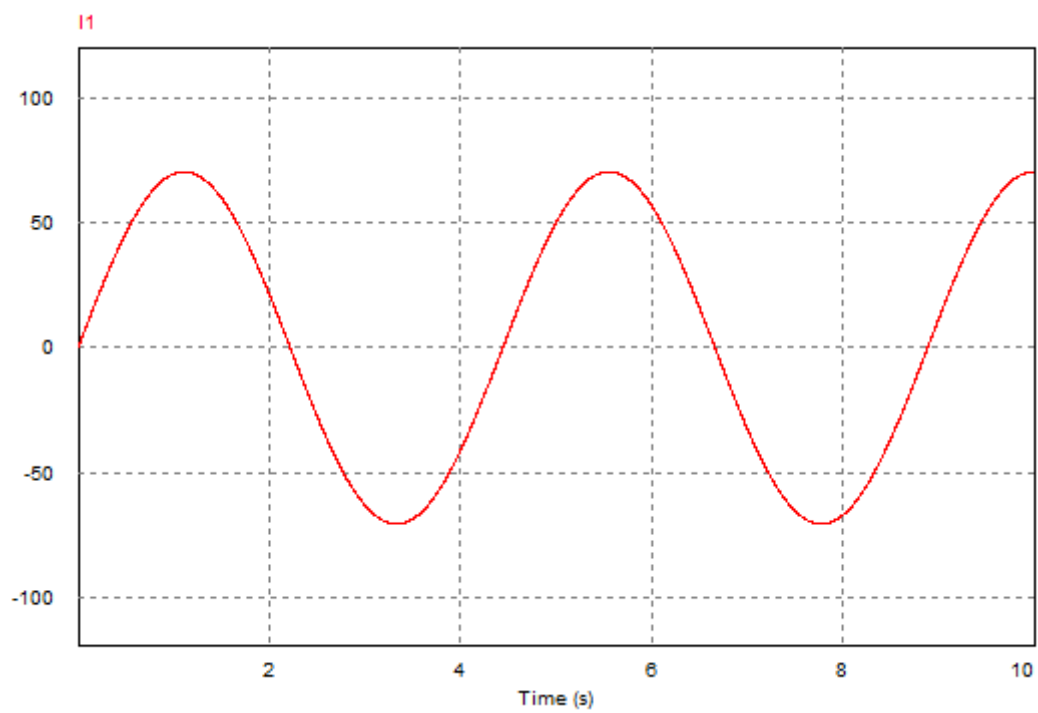


Figura 29: $\xi = 0$

Resumo

Foi apresentado os cálculos , formas de onda pelo modelo matemático e pelo simulador **PSIM**, na situação da Figura 1 em curto-circuito , com resistência em amortecimento crítico e com díodo , mostrando os comportamentos das variáveis Tensão e Corrente , depois foi feito o estudo da Figura 17 circuito *RLC* nos seus estados de amortecimento (ξ) e respetivo comportamento das suas variáveis , os valores obtidos sendo iguais pela representação matemática e simulador **PSIM**.

Parte III

Equações

Corrente Contínua Condições iniciais nulas .

Circuito LC em $C.C$:

- $i(t) = \frac{V_{DC}\sqrt{LC}}{L} \sin\left(\frac{t}{\sqrt{LC}}\right) \times u(t)$
- $V_L(t) = V_{DC} \cos\left(\frac{t}{\sqrt{LC}}\right) \times u(t)$
- $V_C(t) = V_{DC} \left(1 - \cos\left(\frac{t}{\sqrt{LC}}\right)\right) \times u(t)$
- $\omega_n = \frac{1}{\sqrt{LC}}$
- $\bar{Z} = \sqrt{(\omega_n L - \frac{1}{\omega_n C})^2}$
- $\phi = \frac{\pi}{2}$
porque, $\sin(\omega_n t) = \cos(\omega_n t - \pi/2)$
- $\tau = \infty$

Circuito RLC em $C.C$:

1. Para $C(CR^2 - 4L) > 0$ (Raízes reais diferentes) Sobreamortecido .

- $i(t) = \frac{2V_{DC}Ce^{-\frac{tR}{2L}} \sinh\left(\frac{t\sqrt{C(CR^2-4L)}}{2CL}\right)}{\sqrt{C(CR^2-4L)}} \times u(t)$
- $V_R(t) = R \times i(t)$
- $V_L(t) = L \frac{di(t)}{dt}$

$$L \left(\frac{V_{DC} e^{-\frac{tR}{2L}} \cosh\left(\frac{t\sqrt{C(CR^2-4L)}}{2CL}\right)}{L} - \frac{V_{DC} C R e^{-\frac{tR}{2L}} \sinh\left(\frac{t\sqrt{C(CR^2-4L)}}{2CL}\right)}{L\sqrt{C(CR^2-4L)}} \right)$$

- $V_C(t) = \frac{1}{C} \int_0^t i(t) dt$

$$\frac{2 V_{DC} \left(\frac{\sqrt{C^2 R^2 - 4 C L}}{2} - \frac{\left(\sqrt{C^2 R^2 - 4 C L} \left(e^{\frac{t\sqrt{C^2 R^2 - 4 C L}}{C L}} + 1 \right) + C R e^{\frac{t\sqrt{C^2 R^2 - 4 C L}}{C L}} - C R \right) e^{-\frac{t\sqrt{C^2 R^2 - 4 C L}}{2 C L}}}{4} - \frac{t R}{2 L} \right)}{\sqrt{C(CR^2-4L)}}$$

2. Para $C(CR^2 - 4L) = 0$ (Raízes iguais) Amortecimento crítico .

- $i(t) = \frac{V_{DC}}{L} t e^{-\frac{Rt}{2L}} \times u(t)$
- $V_R(t) = R \times i(t)$
- $V_L(t) = L \frac{di(t)}{dt}$

$$L \left(\frac{V_{DC} e^{-\frac{tR}{2L}}}{L} - \frac{t V_{DC} R e^{-\frac{tR}{2L}}}{2 L^2} \right)$$

- $V_C(t) = \frac{1}{C} \int_0^t i(t) dt$

$$\frac{V_{DC} \left(\frac{4 L^2}{R^2} - \frac{(2 t L R + 4 L^2) e^{-\frac{tR}{2L}}}{R^2} \right)}{C L}$$

3. Para $C(CR^2 - 4L) < 0$ (Raízes complexas) Amortecido .

- $i(t) = \frac{2V_{DC}Ce^{-\frac{tR}{2L}} \sin\left(\frac{t\sqrt{-C(CR^2-4L)}}{2CL}\right)}{\sqrt{-C(CR^2-4L)}} \times u(t)$

- $V_R(t) = R \times i(t)$

- $V_L(t) = L \frac{di(t)}{dt}$

$$L \left(\frac{V_{DC} e^{-\frac{tR}{2L}} \cos\left(\frac{t\sqrt{-C(CR^2-4L)}}{2CL}\right)}{L} - \frac{V_{DC} C R e^{-\frac{tR}{2L}} \sin\left(\frac{t\sqrt{-C(CR^2-4L)}}{2CL}\right)}{L\sqrt{-C(CR^2-4L)}} \right)$$

- $V_C(t) = \frac{1}{C} \int_0^t i(t) dt$

$$\frac{2V_{DC} \left(\frac{\sqrt{4CL-C^2R^2}}{2} e^{-\frac{tR}{2L}} \left(C R \sin\left(\frac{t\sqrt{4CL-C^2R^2}}{2CL}\right) + \sqrt{4CL-C^2R^2} \cos\left(\frac{t\sqrt{4CL-C^2R^2}}{2CL}\right) \right) \right)}{\sqrt{-C(CR^2-4L)}}$$

- $|\omega_n| = \sqrt{\frac{4L-R^2C}{4L^2C}}$

- $\bar{Z} = \sqrt{R^2 + (\omega_n L - \frac{1}{\omega_n C})^2}$

- $\phi = \arctan\left(\frac{\omega_n L - \frac{1}{\omega_n C}}{R}\right)$

- $\tau = \frac{2L}{R}$

Definição 1

$$Q_c(t) = \int^t i(t) dt$$

$$= Q_c(0^-) + \int_{0^-}^t i(t) dt$$

$$V_c(t) = \frac{Q_c(t)}{C}$$

$$= \frac{1}{C} \int^t i_c(t) dt$$

$$= \frac{Q_c(0^-)}{C} + \frac{1}{C} \int_0^t i_c(t) dt$$

$$= V(0^-) + \frac{1}{C} \int_0^t i_c(t) dt$$

$$i_c(t) = C \frac{dV_c(t)}{dt}$$

Definição 2

$$\begin{aligned}
\psi_L(t) &= \int^t V_L(t) \, dt \\
&= \psi_L(0^-) + \int_{0^-}^t V_L(t) \, dt \\
V_L(t) &= L \frac{di_L(t)}{dt} \\
i_L(t) &= \frac{\psi_L(t)}{L} \\
&= \frac{1}{L} \int^t V_L(t) \, dt \\
&= \frac{\psi_L(0^-)}{L} + \frac{1}{L} \int_0^t V_L(t) \, dt \\
&= i_L(0^-) + \frac{1}{L} \int_0^t V_L(t) \, dt
\end{aligned}$$

Definição 3

$$\begin{aligned}
V_R(t) &= R \, i_R(t) \\
i_R(t) &= \frac{V_R(t)}{R}
\end{aligned}$$

Lista de Figuras

1	Circuito LC C.C	3
2	$V_c(t)$ e $V_L(t)$ e $i(t)$	5
3	Circuito LC com díodo em C.C	6
4	Circuito RLC Amortecido crítico C.C	7
5	Programa <i>PSIM</i>	2
6	$V_c(t)$	3
7	$V_L(t)$	3
8	$i(t)$	4
9	$V_c(t)$	4
10	$V_L(t)$	5
11	$V_D(t)$	5
12	$i(t)$	6
13	$V_c(t)$	6
14	$V_L(t)$	7
15	$V_R(t)$	7
16	$i(t)$	8
17	Circuito RLC em C.C	8
18	$\xi = 0.1$	9
19	$\xi = 0.31622776601684$	9
20	$\xi = 0.707106781188655$	10
21	$\xi = 1$	10
22	$\xi = \sqrt{3}$	11
23	$\xi = 0$	11
24	$\xi = 0.1$	12
25	$\xi = 0.31622776601684$	12
26	$\xi = 0.707106781188655$	13
27	$\xi = 1$	13
28	$\xi = \sqrt{3}$	14
29	$\xi = 0$	14
	□	

Bibliografia

- [1] *Curso de Introduo ao LATEX*.
- [2] *Electrónica Analógica*. McGraw Hill, 1993.
- [3] *Cálculo Diferencial e Integral em \mathbb{R} e \mathbb{R}^n* . McGraw Hill, 1995.
- [4] *Cálculo Diferencial e Integral*. Lopes da Silva Editora, 1997.
- [5] *electromagnetismo*. McGraw Hill, 1999.
- [6] *The Maxima Book*. , 2004.
- [7] *HIGHER ENGINEERING MATHEMATICS*. Published by Elsevier Ltd, 2006.
- [8] *More Math into Latex*. Springer Science+Business Media, LLC, 2007.
- [9] *PSIM Users Guide*. Powersim Inc., 2009.
- [10] *Analog and Digital Control System Design: Transfer-Function, State-Space, and Algebraic Methods*. Harcourt Brace Jovanovich College Publishers, .
- [11] *Teach Yourself Electricity and Electronics*. McGraw-Hill, .
- [12] Fidalgo, André: *Sistemas Eléctricos de Corrente Alternada*. Em *Unidade de Ensino 2*.
- [13] Fidalgo, André: *Sistemas Eléctricos de Corrente Contínua*. Em *Unidade de Ensino 1*.

